

## بررسی تأثیر کاتالیست زئولیتی در فرایند هم تف کافت پلی اتیلن سبک و چوب صنوبر

سپیده بهنام<sup>۱</sup> و مرتضی قلیزاده<sup>۲\*</sup>

۱. دانشجوی کارشناسی ارشد، دانشکده مهندسی شیمی و نفت، دانشگاه تبریز، تبریز، ایران.

۲. استادیار دانشکده مهندسی شیمی و نفت، دانشگاه تبریز، تبریز، ایران.

دریافت: فروردین ۱۴۰۱ بازنگری: شهریور ۱۴۰۱ پذیرش: شهریور ۱۴۰۱



10.30495/JACR.2022.1956008.2027



20.1001.1.17359937.1401.16.3.11.7

**چکیده**

در این پژوهش، تأثیر کاتالیست زئولیت بر فرایند تف کافت مخلوط چوب صنوبر و پلی اتیلن سبک بررسی شد. بدین منظور، در یک واکنشگاه با ابعاد آزمایشگاهی، ۱۵ گرم از این مخلوط بارگذاری شد و تف کافت مخلوط در دمای ۵۰°C در فشار اتمسفریک و در جو گاز نیتروژن انجام پذیرفت. افزودن کاتالیست زئولیت A4 به مخلوط تف کافت موجب افزایش مقدار قطران تولیدی شد. قطران تولیدی دارای دو گروه ترکیب‌های آلیافاتیکی و آромاتیکی بود. کاتالیست، مقدار مواد آromاتیک موجود در قطران را نیز افزایش داد و با اکسیژن‌زدایی موجب بهبود کیفیت قطران شد. با توجه به تصویرهای SEM مشخص شد که ساختار زغال‌های تولیدشده از فرایند تف کافت گرمایی و کاتالیستی، مشابه با ساختار چوب صنوبر بود با این تفاوت که زغال کاتالیستی تخلخل بیشتری داشت. طیف‌های FTIR نشان داد که افزودن کاتالیست موجب اکسیژن‌زدایی اندکی از سطح موم بهدست آمده از تف کافت کاتالیستی می‌شود و مقدار موم تولیدشده را کاهش می‌دهد. این نتیجه‌ها نشان داد که کاتالیست زئولیت A4 تمايل به اکسیژن‌زدایی از سطح فراورده دارد. با توجه به الگوهای XRD و تجزیه عنصری، مشخص شد به مقدار خیلی کمی کک پس از واکنش، بر کاتالیست تشکیل می‌شود.

**واژه‌های کلیدی:** تف کافت، چوب صنوبر، زئولیت، پلی اتیلن سبک**مقدمه**

تجزیه‌پذیری ضعیف بسپارها، دفع زباله در محل‌های دفع پسماند رو به نامطلوب شدن است و باید روشی کارآمدتر برای بازیافت این زباله‌های پلاستیکی اندیشیده شود [۱]. مشکل‌های زیستمحیطی ناشی از انتشار آلینده‌های اولیه (گوگرد دی‌اکسید، کربن مونوکسید، نیتروژن اکسیدها و

طی دهه‌های گذشته، افزایش روز افزون جمعیت به همراه نیاز مردم به اتخاذ شرایط بهتر برای زندگی، منجر به افزایش چشمگیر مصرف بسپارها (به طور عمد پلاستیک‌ها) شده است. به دلیل فشارهای قانونی، افزایش هزینه‌ها و

خورنده‌گی، ناپایداری، ارزش گرمایی پایین و عدم سازگاری با سوخت فسیلی، استفاده از آن را در موتورهای معمولی و دیگر های بخار محدود می‌کند [۸]. این نواقص باید برای استفاده از آن به عنوان یک سوخت معمولی برطرف شود. برای بهبود بخشیدن سوخت روغن زیستی، باید هم‌تفکافت زیست‌توده و مواد آلی حاوی هیدروژن بالا انجام شود. بنابراین، پلاستیک‌ها به‌دلیل داشتن هیدروژن بیشتر و مقدار کم آب موجود در روغن به‌دست‌آمده از تفکافت آن‌ها، می‌توانند به عنوان واکنش‌گر مناسب باشند [۴]. در تفکافت، وجود پلاستیک می‌تواند موجب بهبود خاصیت مایع و بازده آن به عنوان سوخت شود. از این‌رو، مخلوطی از پلی‌اتیلن، پلی‌پروپیلن، پلی‌استایرن و اجزای اصلی پلاستیک پسماندهای جامد شهری و یا یکی از آن‌ها در مخلوط با زیست‌توده استفاده می‌شود [۹]. در میان انواع پلاستیک‌ها، پلی‌اتیلن بیش از کل درصد از کل زیاله پلاستیک در جهان را تشکیل می‌دهد. از این‌رو، استفاده از آن در فرایندهای هم‌تفکافت زیست‌توده، در کاهش آلودگی به‌دست آمده از زیاله‌های پلاستیکی می‌تواند مفید باشد [۱۰].

همچنین، روغن زیستی با وجود بزرگترین مزیت آن، یعنی دوستدار محیط‌زیست‌بودن، به‌دلیل محتوای بالای آب (۱۵ تا ۳۰ درصد وزنی) و ترکیب‌های اکسیژن‌دار (۳۵ تا ۶۰ درصد وزنی) مانند اسیدها، کتون‌ها، اترها، آلدهیدها و الکل‌ها با چالش‌های فنی زیادی برای تجاری‌سازی مواجه است. بنابراین، کیفیت روغن زیستی باید با حذف اکسیژن از راه فرایند گرمایی جدید و یا روش‌های جدید پیش‌تصفیه، بهبود یابد. هم‌تفکافت کاتالیستی به عنوان روشی جایگزین برای بهبود کیفیت روغن‌های زیستی استفاده می‌شود [۱۱]. تفکافت کاتالیستی یک رویکردی است که طی آن، زیست‌توده را پیش از اینکه بخارها چگالنده شوند، اکسیژن‌زدایی می‌کند [۱۲]. طی سالیان طولانی مواد کاتالیستی متفاوتی مانند کاتالیست‌های همگن، مواد مزبور

هیدروکربن‌ها) مانند باران‌های اسیدی، کاهش لایه ازن و تغییرهای آب و هوایی جهان به‌طور عمده با احتراق سوخت‌های فسیلی ایجاد شده‌اند [۲]. اگرچه انواع متفاوتی از انرژی طبیعی، مانند نور خورشید، زمین گرمایی، انرژی آب، انرژی باد و زیست‌توده به عنوان منبع انرژی تجدیدپذیر در نظر گرفته می‌شوند، ولی بیشتر آن‌ها برای تولید برق استفاده می‌شود. فقط زیست‌توده یک منبع کربن تجدیدپذیر است که می‌تواند برای تولید سوخت‌های زیستی یا مواد اولیه شیمیایی استفاده شود [۳]. بنابراین، زیست‌توده به عنوان منبع انرژی تجدیدپذیر عمده جهان، برای کاهش منابع سوخت فسیلی شناخته شده است [۴].

تفکافت یک فرایند تجزیه گرمایی است که در غیاب اکسیژن رخ می‌دهد و در دهه‌های گذشته به‌دلیل پتانسیل تبدیل پسماند آلی مانند لاستیک‌های فرسوده، خاک اره، بامبو، زیاله‌های پلاستیکی، سایر مواد زائد کشاورزی به بقایای کربنی، هیدروکربن‌های مایع و گازها به‌طور گسترده مطالعه شده است [۵]. با تفکافت، زیست‌توده لیگنوسلولزی به مواد جامد کربنی و مایع‌ها و گاز تبدیل می‌شوند [۶]. فراورده به‌دست‌آمده شامل گاز (هیدروژن، کربن مونوکسید، کربن دی‌اکسید، متان و هیدروکربن‌های سبک)، هیدروکربن‌های مایع (قطران<sup>۱</sup> یا روغن زیستی<sup>۲</sup>، مواد کربنی (زغال<sup>۳</sup>) و موم<sup>۴</sup> (در صورت استفاده از واکنش‌گرهای پلی‌الی‌فنی<sup>۵</sup> مانند پلی‌اتیلن)، است [۷].

روغن به‌دست آمده از تفکافت زیست‌توده در مقایسه با نفت‌های معمولی، ویژگی سوختی ناپایداری دارد. مقدار آب زیست‌توده نیز به‌دلیل داشتن اکسیژن و ترکیب‌های اسیدی بسیار بالا است (بیش از ۲۰ درصد) [۴]. روغن زیستی به دست‌آمده از آن به‌دلیل داشتن برخی ویژگی‌های نامطلوب مانند

۹۲۱ kg/m<sup>3</sup> بودند. همچنین، زئولیت A4 به عنوان کاتالیست واکنش، به شکل گرانول و به قطر ۳ mm از شرکت پشتیبان سلامت تبریز تهیه شد. از گاز نیتروژن به عنوان گاز خنثی و از مخلوط کلروفرم و متانول به عنوان حلال برای شستشو، در چگالنده استفاده شد.

#### سامانه استفاده شده در فرایند تف کافت

برای انجام این فرایند از یک واکنشگاه فولادی بستر ثابت و نیمپیوسته به ارتفاع ۱۹ cm و قطر ۱۲ cm استفاده شد (شکل ۱) که جنس آن فولاد ضد زنگ بود. واکنشگاه مورد استفاده دو عدد شیر سوزنی استیل ۳۱۶ و نیز یک عدد شیر توپی ۳۱۶ داشت. برای وروری واکنشگاه دو لوله ۱/۴ اینچی و ۱/۲ اینچی استفاده شد و نیز برای ورودی گاز خنثی نیز یک لوله ۱/۴ اینچی استفاده شده بود. برای شروع آزمایش دمای واکنشگاه با استفاده از یک کوره قابل برنامه ریزی تا ۵۰۰°C افزایش یافت که این دما همان دمای تف کافت و انجام آزمایش بود. پس از عاری سازی محیط از گاز اکسیژن با گاز نیتروژن، خوراک که مخلوطی مساوی از چوب صنوبر خردشده و تایر زائد بود در دمای ۵۰۰°C فشار اتمسفریک و جو نیتروژن به واکنشگاه وارد شد و ۲۰ دقیقه زمان برای انجام واکنش در نظر گرفته شد. در صورت انجام فرایند تف کافت کاتالیستی، زئولیت A4، به منظور فعلی سازی، پیش از مواد اولیه به واکنشگاه وارد شد و مقدار مورداستفاده یک چهارم خوراک ورودی بود. در حین فرایند، گازهای تولید شده وارد چگالنده شدند که حاوی ترکیب کلروفرم و متانول بودند و گازهای تراکم‌پذیر به صورت فراورده مایع (قطران) تولیدی و گازهای سبکتر و غیرقابل تراکم به صورت فراورده گاز از چگالنده خارج شدند. باقی‌مانده مواد جامد در داخل واکنشگاه، در پایان فرایند به عنوان فراورده جامد (زغال) جمع-آوری شد. در نهایت قطران به دست آمده برای جداسازی حلال و ترکیب‌های سبک آن، در داخل آون قرار گرفت تا فراورده نهایی روغن به دست آید. در این فرایند عامل‌های دبی گاز نیتروژن و سرعت گرمایش ثابت در نظر گرفته شد. روش‌های تجزیه‌ای

اسیدی، مواد مزوپور غیراسیدی، کاتالیست‌های FCC<sup>1</sup>، زئولیت‌ها و اکسیدهای فلزی برای تف کافت کاتالیستی زیست‌توده و پلاستیک به کار گرفته شده‌اند. مشخص شده است که زئولیت‌ها کاتالیست‌های کارآمد و مؤثری در تخریب پلی‌اتیلن هستند [۱۳]. مزایای استفاده از زئولیت‌ها، به قیمت پایین آن‌ها و داشتن بدست آمده طی دهه‌ها استفاده از آن‌ها در صنایع شیمیایی نسبت داده می‌شود [۱۴]. فن و همکارانش<sup>2</sup>، در سال ۲۰۱۷، هم‌تفکافت کاتالیستی لیگنین و پلی‌اتیلن سبک با زئولیت H-ZSM5 و MgO را انجام دادند. ثابت شد که پلی‌اتیلن سبک یک هیدروژن‌دهنده خوب برای بهبود کیفیت روغن زیستی است. آن‌ها مشاهده کردند که هم‌افزایی آشکاری بین لیگنین و پلی‌اتیلن سبک، برای بالابردن بازده روغن زیستی به دست آمد. زئولیت H-ZSM5 نسبت به MgO تولید مواد آروماتیک را بهبود بخشدید [۱۵].

همان‌گونه که در بالا نیز اشاره شد برای افزایش کیفیت روغن زیستی و حذف اکسیژن موجود در آن، چوب صنوبر با پلی‌اتیلن سبک (که یک ماده پلی‌الفنی با مقدار هیدروژن بالا است) و در حضور زئولیت A4 (که یک کاتالیست زئولیتی میکروپور و ارزان قیمت است) تف کافت شد. این فرایند در یک واکنشگاه نیم‌پیوسته، در دمای ۵۰۰°C، فشار اتمسفریک و در جو نیتروژن انجام شد.

#### بخش تجربی

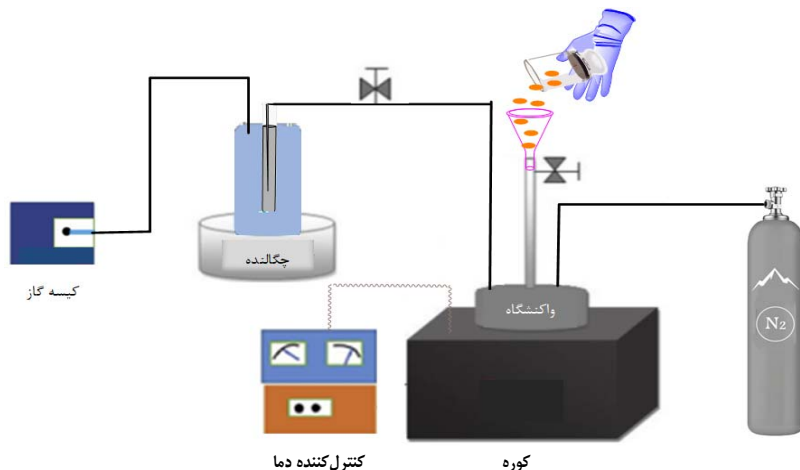
مواد/اولیه

پسمندانهای چوب صنوبر که در منطقه تبریز به خوبی یافت می‌شوند، به عنوان واکنشگر با ابعاد به طول ۱ cm، عرض ۳ mm و ضخامت ۱ mm تهیه شدند. گرانول‌های پلی‌اتیلن سبک از شرکت پتروشیمی آریا ساسول خریداری شدند. ذره‌های پلی‌اتیلن سبک به شکل قرص، به قطر ۵ mm و ارتفاع ۲ mm و چگالی

1. Fluid catalytic cracking

2. Fan et al.

متفاوتی نیز بر فراوردهای جامد، قطران و نیز گاز تولیدی با دستگاه‌های تجزیه‌گر متفاوت انجام شد.



شکل ۱ طرحواره سامانه و واکنشگاه به کارگرفته شده در فرایند تف کافت

۳۵ حفظ شد و سپس دما با سرعت  $10^{\circ}\text{C}/\text{min}$  از  $35^{\circ}\text{C}$  تا  $250^{\circ}\text{C}$  افزایش پیدا کرد. ستون برای ۵ دقیقه در دمای  $250^{\circ}\text{C}$  نگه داشته شد. هلیم با دبی  $4 \text{ ml/min}$  به عنوان گاز حامل استفاده شد. شناسایی پیک‌ها در طیف MS بربایه مقایسه با طیف استاندارد ترکیب‌های موجود در مرکز داده GC-MS یا با توجه به نسبت طیف/ زمان ماند برای گونه‌های مشخص تزریق شده، انجام شد [۲۰ و ۲۱].

#### تجزیه وزن‌سنجدی گرمایی (TGA<sup>1</sup>)

این روش برای اندازه‌گیری مقدار فراربودن ترکیب‌های موجود در نمونه‌ها استفاده شد. نمودارهای مربوط به کاهش وزن و مشق وزن‌سنجدی گرمایی با دستگاه TGA Henven, HCT-1 انجام شد. در ابتدا نمونه‌ها از دمای اتاق تا  $105^{\circ}\text{C}$  گرماده شدند و این دما برای حذف رطوبت فیزیکی نمونه به مدت ۲۰ دقیقه حفظ شد. سپس نمونه‌ها برای رسیدن به دمای  $500^{\circ}\text{C}$ ، با سرعت گرمایی  $20^{\circ}\text{C}/\text{min}$  و در حضور جریان نیتروژن، گرماده شدند.

#### روش‌های شناسایی

##### طیف‌سنجدی فروسرخ تبدیل فوریه (FTIR)

برای بدست‌آوردن طیف FTIR هر نمونه، دستگاه Nicolet iS50 به کارگرفته شد. در ابتدا، نمونه‌ها در دمای  $35^{\circ}\text{C}$  و در یک اجاق خلاً به مدت ۴ ساعت گرماده شدند. گستره طیف در بازه  $250$  تا  $450 \text{ cm}^{-1}$  بود [۱۶].

##### پراش پرتو/ایکس (XRD)

دستگاه Ultima IV X-ray مجهز به منبع پرتو ایکس CuKa ( $\lambda = 1.5406 \text{ \AA}$ ) برای بررسی و مطالعه ساختار بلوری نمونه‌های زغال به کارگرفته شد. [۱۷ تا ۱۹].

##### سوانگاری گازی- طیف‌سنجدی جرمی (GC-MS)

تجزیه فراورده مایع با دستگاه Shimadzu GC-MS با یک ستون مویینگی (DB-Wax) به طول  $30$  متر، قطر داخلی  $۰.۲۵$  میلی‌متر، ضخامت فیلم  $۰.۰۲۵$  میلی‌متر انجام گرفت.  $۰.۰۵$  میکرومتر از نمونه با نسبت انشعاب  $۵۰$  به  $۱$ ، در گاه تزریق شد. در ابتدا دمای ستون برای ۳ دقیقه در دمای

1. Thermogravimetric Analysis

بازده قطران که به عنوان فراورده اصلی تف کافت است، مؤثر بوده است. همچنین، کاتالیست موجب شده مقدار خیلی کمی (کمتر از ۱درصد) به فراورده گازی افزوده شود که به معنی اتلاف خیلی کم مواد آلی به شکل گاز است: ترکیب‌های متفاوت در فاز گاز در تف کافت گرمایی و کاتالیستی تجزیه فراورده‌های گازی به دست آمده از هم تف کافت گرمایی و کاتالیستی چوب صنوبر و LDPE با سوانگاری گازی در شکل ۳ آورده شده است. با توجه به نمودار مشخص می‌شود که مقدار گازهای CO و CO<sub>2</sub> در تف کافت کاتالیستی افزایش یافته است.

این گازها به دلیل وجود مواد اکسیژن‌دار در چوب صنوبر و پلی‌اتیلن و واکنش‌های کربونیل‌زدایی و کربوکسیل‌زدایی تولید شده است. در تف کافت گرمایی مقدار گاز CH<sub>4</sub> بیشتر از تف کافت کاتالیستی است. همچنین، گازهای C<sub>2</sub>H<sub>6</sub> و C<sub>3</sub>H<sub>8</sub> در تف کافت گرمایی تولید شد در حالی که مقدار این گازها در تف کافت کاتالیستی به طور تقریبی صفر بود. یعنی در تف کافت گرمایی مقدار هیدروکربن‌های سبک بیشتر تولید شد. درصد تولید گاز H<sub>2</sub> نیز در تف کافت گرمایی بیشتر از تف کافت کاتالیستی بود که به دلیل بسپارش رادیکال‌های فعال هیدروژن، تولید شد.

به طور کلی نتیجه‌ها نشان‌دهنده این است که کاتالیست موجب افزایش سرعت اکسیژن‌زدایی شده است، ولی سرعت واکنش بسپارش ترکیب‌های سبک هیدروکربنی بیشتر از سرعت کراکینگ آن‌ها بود. ترکیب‌های CH<sub>4</sub>، C<sub>2</sub>H<sub>6</sub> و C<sub>3</sub>H<sub>8</sub> به احتمال بر اثر بسپارش در حضور کاتالیست، تبدیل به هیدروکربن‌های سبک مایع در داخل آون شده‌اند.

### میکروسکوپی الکترونی روشی (SEM)

برای ریخت‌شناسی واکنشگرهای نمونه زغال‌های تولیدشده و همچنین برای کاتالیست پیش و پس از واکنش، میکروسکوپ الکترونی روشی MIRA3 FEG-SEM (Tescan) ساخت کشور چک به کار گرفته شد.

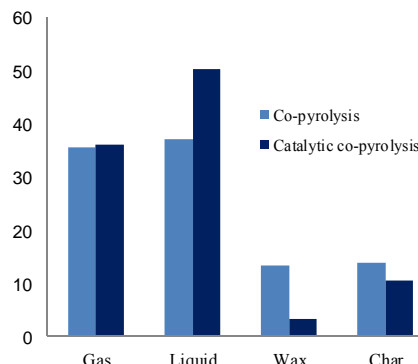
### تجزیه عنصری

تعیین عناصر مربوط به نمونه‌ها با روش طیفسنجی EuroEA3000-Single جذب اتمی و به کارگیری دستگاه instrument انجام شد.

### نتیجه‌ها و بحث

#### بازده فرآورده

مقدار بازده فرآورده تولیدشده از تف کافت گرمایی و کاتالیستی در شکل ۲ نشان داده شده است.



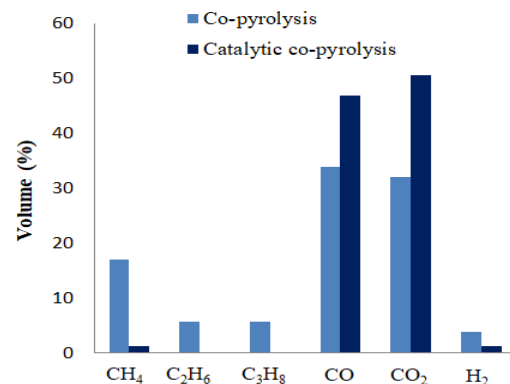
شکل ۲ مقدار فرآورده‌های گازی، زغال، قطران و موم تولیدشده در تف کافت گرمایی و کاتالیستی

همان‌گونه که مشاهده می‌شود، افزودن کاتالیست زئولیت، بازده زغال و موم را به ترتیب از ۱۳/۸۸ و ۱۳/۳۸ به ۱۰/۴۰ و ۳/۱۹٪ کاهش و در مقابل، بازده قطران و گاز را به ترتیب از ۳۷/۰۶ و ۳۵/۶۸ به ۵۰/۳۴ و ۳۶/۰۷ افزایش داده که این نتیجه به دلیل افزایش کراکینگ و تولید مواد سبک در تف کافت کاتالیستی است. به بیان دیگر، کاتالیست در افزایش

و می‌تواند به مواد شیمیایی مفیدی تبدیل شود، فقط در مایع به دست آمده از تف کافت کاتالیستی مشاهده شد که در اثر آبزدایی قندهای به دست آمده از تف کافت سلولز تولید شده بود. اسیدهای تولید شده در تف کافت کاتالیستی کاهش چشمگیری یافته بود. پژوهش‌ها نشان داده است که مراکز اسید لوئیس و بروونستد<sup>1</sup> موجود در کاتالیست‌های زئولیتی واکنش‌های آبزدایی را افزایش می‌دهد.

به دلیل انجام واکنش‌های کتونی‌شدن حول کاتالیست که گروه‌های کربوکسیل را حذف و اسیدها را به کتون تبدیل می‌کند، بازده اسید کاهش یافته و کتون‌ها تولید شدند که این خود موجب افزایش ارزش گرمایی و پایداری فراورده‌های مایع می‌شود. همچنین، با افزودن کاتالیست، مقدار مواد با ارزش آромاتیکی نیز افزایش یافت. برای مثال، بیشترین مقدار آروماتیک را دی-۲-اتیل‌هگزیل فتالات (۳٪/۲۲) داشت [۲۳].

مشاهده شد که تولوئن و زایلین با افزودن کاتالیست افزایش و بنزن کاهش یافت؛ این پدیده به دلیل افزایش واکنش‌های آکلیل دارشدن بنزن بود؛ زیرا ترکیب‌های آروماتیک تک حلقه چندجایگزینی مانند تری‌متیلبنزن و دی‌متیلبنزن با واکنش‌های تسهیم نامتناسب<sup>2</sup> تبدیل به تولوئن و زایلین می‌شوند [۲۲]. مقادیر الکل نیز در حضور کاتالیست افزایش یافت که بیانگر کرایکینگ بیشتر واکنش‌گرها بود که تأثیر آن در کاهش مقدار زغال و موم تف کافت کاتالیستی مشاهده شد. برای مثال، متانول و اتانول با افزودن کاتالیست تولید شدند.



شکل ۳ درصد حجمی ترکیب‌های متفاوت موجود در فاز گازی (GC)  
(تعیین شده با)

نتیجه‌های به دست آمده از تجزیه GC-MS فرآورده مایع در جدول ۱ درصد مواد فرار موجود در مایع به دست آمده از تف کافت گرمایی و تف کافت کاتالیستی LDPE و چوب صوبر نشان داده شده است. مواد موجود در مایع‌های تولید شده شامل مواد آلیفاتیک (هیدروکربن‌های راست زنجیر و حلقوی)، آروماتیک‌های الکل‌ها و مقداری مواد اسیدی، مواد گوگرددار و نیتروژن دار بود. ترکیب‌های خطی سبک مانند الکان‌ها و آراماتیک‌های سبک مانند بنزن و زایلن در مایع وجود داشت. فراورده‌های آروماتیک به طور عمده از تجزیه لیگنین موجود در چوب به دست آمد. الکل‌ها و اسیدها از تجزیه گرمایی سلولز و همی‌سلولز ایجاد شد [۲۲].

مواد آلیفاتیک شامل الکان‌ها، الکن‌ها، اسیدها و ... بود که از تجزیه چوب و پلی‌انیلن به دست آمدند. الکان‌ها مانند پتان، هگزان و اکتان بیشترین مقدار را در این گروه داشتند. نتیجه‌ها نشان داد که مقادیر آکلان مانند هگزان و دکان در تف کافت گرمایی زیاد بود. مقداری الکل و اسید نیز در مایع وجود داشت. با افزودن کاتالیست به فرایند هم‌تف‌کافت، تغییراتی در مقادیر ترکیب‌های به وجود آمد. مقدار الکان‌ها کاهش یافت که این می‌تواند به دلیل شکست مولکولی آن‌ها و همچنین، تبدیل به مواد آروماتیکی باشد. فوران که ماده با ارزشی است

1. Lewis and Brønsted

2. Disproportionation reactions

جدول ۱ درصد ترکیبات سبک قطران به دست آمده از فرایند تف کافت گرمایی و کاتالیستی (تعیین شده با GC-MS)

کاتالیستی	گرمایی	تف کافت	ترکیبها	کاتالیستی	گرمایی	تف کافت	ترکیبها
۰/۰۸	-	۱- دی متوكسی پروپان	-	-	۲/۲۴	متان	
۶/۸۹	۶/۸۳	۲- متیل پتان	-	۰/۰۶	-	بوتان	
۱۱/۳۸	-	متیل سیکلو پتان	-	-	۸/۹۹	۳- متیل پتان	
۰/۰۶	-	۳- پروپیل-۱ و ۴- پنتادین	-	۰/۰۶	-	۱- اتیل-۱- متیل سیکلو پتان	
۳/۰۸	۱۷/۳۴	سیکلو هگزان	-	۸/۴۶	۱۴/۶۹	هگزان	
۰/۳۱	-	متیل سیکلو هگزان	-	۰/۱۰	-	سیکلو هگزانون	
۰/۷۸	۱۶/۷	هپتان	-	۰/۲۴	-	۴- متیل سیکلو هگزان	
-	۰/۰۲	۳- دی متیل هگزان	-	-	۰/۱۱	۳- دی متیل هگزان	
-	۰/۱۰	۲- متیل هپتان	-	-	۱/۷۷	۳- متیل هپتان	
۰/۰۷	-	۲- دی متیل هپتان	-	۰/۶۰	-	۱- هپتن	
-	۱/۰۲	۱- اتیل-۳- متیل سیکلو پتان	-	-	۰/۲۳	۳- کلرو-۳- متیل پتان	
۰/۹۰	-	۱- اکتن	-	۲/۹۶	۷/۵۱	اکтан	
-	۰/۱۲	۷- پروپیل سیکلو پتان	-	۰/۹۰	-	۱- اکتن	
۰/۰۴	-	۳- اتیل-۱- سیکلو هگزان	-	۰/۰۹	-	۱- بوتیل-۲- متیل سیکلو پتان	
-	۰/۱۴	۴- هیدروکسی-۱- پیرولین اکسید	-	۰/۰۹	-	۱- دی متیل سیکلو هگزان	
۰/۱۰	-	۳- متیل نونان	-	۰/۵۰	۰/۴۳	نونان	
-	۰/۰۹	۱- او۱۰-۳- تری متوكسی بوتان	-	۰/۶۳	-	نون	
۰/۰۸	-	۲- او۱۰- دی متیل ۳- اکتن	-	-	۰/۱۹	۴- اتیل اکтан	
۱/۴۰	۳/۷۴	دکان	-	-	۰/۳۴	۳- متیل نونان	
۰/۱۷	-	۱- اکناد دکان	-	۰/۰۹	-	سیکلودکان	
-	۰/۰۸	سیکلو پتان	-	-	۰/۱۶	سیس-۳- دکان	
۰/۱۱	-	۲- دکن	-	۰/۹۰	-	دکن	
۰/۸۸	-	۱- او۱۰ دکن	-	۰/۶۴	۰/۸۵	او۱۰ دکان	
-	۰/۰۷	سیس-۵- او۱۰ دکان	-	۰/۰۴	-	۱- کلرو-۷- هپتا دکن	
-	۰/۲۴	۳- متیل او۱۰ دکان	-	-	۰/۱۷	۱- اتیل او۱۰ دکان	
۰/۲۵	۰/۱۹	۱- او۱۰ دودکادین	-	-	۰/۱۱	بی سیکلو هپتان	
۰/۱۸	-	۸- دودکن	-	۰/۷۷	۰/۵۹	۱- دودکن	
۰/۱۲	۰/۱۹	۳- دودکن	-	۰/۷۸	۱/۰۹	دودکان	
۰/۲۳	-	۶- او۱۰ اکناد دکین	-	۰/۰۴	۰/۱۹	۱۳- ZE- اکناد دکین	
۰/۹۳	۰/۵۳	۱- تری دکن	-	۰/۲۷	-	۱۲- تری دکان	
۰/۰۷	-	سیکلودودکان	-	۰/۵۰	۰/۴۰	تری دکان	
۰/۰۸	-	۱۳- ترادر دکن	-	۰/۸۸	-	ترادر دکن	

دادمه جدول ۱ درصد ترکیبات سبک قطران به دست آمده از فرایند تف کافت گرمایی و کاتالیستی (تعیین شده با GC-MS)

تف کافت		ترکیبها	تف کافت		ترکیبها
گرمایی	کاتالیستی		گرمایی	کاتالیستی	
۰/۰۹	-	۱۱-دی متیل-۱۲-تترادکن	۰/۰۲	-	Z-۱۱-تترادکن
-	۰/۱۲	۶-تری دکن	-	۰/۱۰	۱-کلروهپتادکن
۰/۵۷	-	تترادکان	۰/۱۰	۰/۱۱	۳-تترادکن
-	۰/۰۴	۲-متیل هگزادکونال	-	۰/۰۵	۹-دی متیل اون دکان
-	۰/۴۴	تتراتراکوتان	-	۰/۰۶	۲-بوتیل-۱-دکن
-	۰/۱۹	۱۳-۱-تترادکادین	-	۰/۵۷	۲-تترادکادین
-	۰/۶۸	تترادکادین	-	۰/۰۶	ترنس ۴-دکن
۰/۰۷	۰/۰۸	سیکلوتترادکان	-	۰/۰۴	۱۱-دی متیل-۱۲-تترادکان
-	۰/۰۴	۱۴-متیل دوتربیاکونتانال	۰/۲۰	-	۱-دوتربیاکونتانال
-	۰/۱۷	۹-تترادکن	۰/۰۷	۰/۳۵	۱-پنتادکن
۰/۰۷	۰/۳۵	پنتادکن	۰/۵۰	-	پنتادکان
۰/۰۴	۰/۰۵	سیکلودودکان	-	۰/۰۴	سیکلوبنتادکان
-	۰/۱۲	۷-دی متیل-عانونان	-	۰/۰۷	۱-اوکسی بیس دودکان
-	۰/۱۵	۱۳-۱-تترادکادین	۰/۵۷	۰/۸۲	هگزادکان
۰/۸۱	-	۱-هگزادکن	-	۰/۱۱	سیکلوتتراکوزان
-	۰/۱۳	بی سیکلولایکوزان	۰/۲۵	-	۳-ایکوزن
۰/۷۸	۰/۳۵	هپتادکن	۰/۷۳	-	۱۵-E-هپتادکمال
-	۰/۲۳	هپتادکان	۳/۵۲	۰/۰۴	۹-تری کوزن
-	۰/۰۳	۱۴-هگزادکنال	-	۰/۱۵	سیس ۹-اکتادکن
۱/۲۶	۰/۵۵	اکتادکن	۲/۶۸	۰/۲۷	سیکلوتراکوزان
-	۰/۰۵	۱۱-Z-تترادکن	۱/۵۲	۰/۱۰	۹-ایکوزادین
۴/۲۳	۰/۲۵	۱-نوادکن	۰/۰۶	-	۲-متیل ۷-نوادکن
۰/۴۴	-	نوادکان	-	۰/۱۶	تترکوزان
۰/۵۳	۰/۳۱	۳-ایکوزن	-	۰/۱۳	Z-هگزادکن
۰/۱۰	-	۵-ایکوزن	-	۰/۰۹	۱۹-ایکوزادین
-	۰/۱۹	آلفالاکتادین	۰/۰۵	-	اتیل سیکلودوکوزان
-	۰/۱۴	هئی کوزان	-	۰/۰۴	نوادکن
۰/۶۴	-	۵-Z-نوادکن	۰/۱۰	۰/۰۴	۳-اکتادکن
۰/۰۶	-	۲-Z-اکتادکن	۰/۰۲	-	آلفا-اکتادکن
۰/۲۰	۰/۱۰	سیس ۱-کلرو-۹-اکتادکن	-	۰/۲۰	سیکلواکتاکوزان
۰/۴۲	-	اکتاکوزان	-	۰/۴۱	تری کوزان
-	۰/۲۳	۹-تری کوزان	-	۰/۹۷	۹-اکتادکنامید
-	۰/۴۰	۹-تری کوزن	-	۰/۳۰	نوادکن

دادمه جدول ۱ درصد ترکیبات سبک قطران به دست آمده از فرایند تف کافت گرمایی و کاتالیستی (تعیین شده با GC-MS)

تف کافت		ترکیبها	تف کافت		ترکیبها
گرمایی	کاتالیستی		گرمایی	کاتالیستی	
-	۰/۱۹	هپتاکوزان	۱/۰۵	-	تریاکونتان
-	۰/۱۵	هنتریاکونتان	۰/۵۳	۰/۰۶	ایکوزان
-	۰/۰۵	کولستا-۵-۳-دین	۰/۰۴	-	۱-۲-(متیل پروپیل)سیکلاوهگزن
۰/۴۴	-	دوکوزان	۰/۵۸	-	۱-دوکوزن
۰/۰۴	-	۱-۳-دی اوکسان	۰/۱۰	-	سیکلوهگزادکان
۰/۱۴	-	۱-هینیکوسیل فرمات	۰/۰۷	-	سیکلوایکوزان
۱/۹۸	-	۱۳-متیل-۱۷-نوناکوزن	۰/۴۸	-	نوناکوزان
۰/۰۷	-	۱۳-متیل-۱۴-نوناکوزن	۱/۸۹	۰/۹۵	تولوئن
۰/۰۵	-	متیل بنزن	۰/۱۹	۰/۳۵	اتیل بنزن
-	۰/۲۳	۱۳-دی متیل بنزن	۰/۱۳	-	۱-دی متوكسی متیل بنزن
۰/۳۴	۰/۲۷	زایلین	۰/۲۰	-	۲-۵-دی متوكسی تراهیدروفوران
-	۰/۰۷	نفتالون	-	۰/۰۷	دکاهیدرو-۲-متیل نفتالین
-	۰/۰۷	۲-و-عیسی (۱۰۱-دی متیل اتیل) افل	-	۰/۰۵	۳-دو-دی-۵-فوران دیون
-	۰/۰۳	۱-بوتیل اکتیل بنزن	۳/۲۲	۲/۸۱	دی-۲-اتیل هگزیل فتالات
۰/۳۴	-	۱-اوکسابی-۸-سینئول	۰/۰۴	-	ترت-هگزادکان تیول
۴/۰۵	-	متانول	۱/۲۸	-	اتانول
۰/۰۴	-	۱-دو-تریاکونتانول	-	۰/۰۳	هگزاکوزانول
۱/۶۷	-	اکتاکوزانول	-	۰/۰۴	دو-دکانول
۰/۲۷	-	اولیل الکل	۰/۰۹	-	پنتانوئیک اسید
-	۰/۳۰	هگزانوئیک اسید	۰/۷۳	۰/۸۱	هگزادکانوئیک اسید
-	۰/۰۴	استیک اسید	۰/۰۸	-	تری کلرواسیتیک اسید
-	۰/۴۴	اکتادکانوئیک اسید	۰/۶۸	۰/۷۴	۱-اکتادکانوئیک اسید

موجب کاهش شدت O-H شده که به مخاطر شدت اکسیژن زدایی بالا در حضور کاتالیست است. نشانه‌هایی از نوارهای  $۲۹۶۸\text{ cm}^{-1}$  در طیف قطران گرمایی و  $۲۹۲۴\text{ cm}^{-1}$  در طیف قطران کاتالیستی وجود دارد که نشان از کشش آرومایتیک C-H و ارتعاش‌های کششی H-C-N در هتروسیکلیک‌هایی مانند پیریدین‌ها، کینولین‌ها و پیریمیدین‌ها است [۲۶]. شدت این نوار در طیف نمونه به دست آمده در حضور کاتالیست بیشتر است که به دلیل

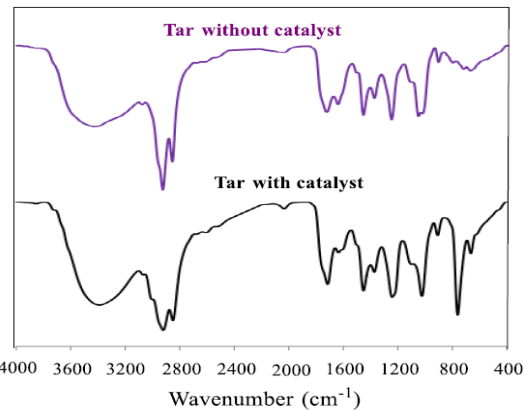
طیف FTIR نمونه‌های قطران تولید شده در شکل ۴ طیف FTIR مایع (قطران) به دست آمده از تف کافت گرمایی و کاتالیستی نشان داده شده است. همان‌گونه که مشاهده می‌شود، در طیف ترکیب‌های دارای ارتعاش‌های کششی O-H مانند فنل‌ها، الکل‌ها و کربوکسیلیک اسید، نوار با شدت بسیار زیادی در گستره  $۳۲۰۰\text{ cm}^{-1}$  تا  $۳۴۰۰\text{ cm}^{-1}$  دارند که نشان می‌دهد این ترکیب‌ها به مقدار زیاد در قطران وجود داشته‌اند [۲۵]. کاتالیست

بنابراین، کاتالیست موجب افزایش سرعت واکنش اکسیژن‌زدایی شده است.

نمودار TGA نمونه‌های قطران تولیدشده در شکل ۵ نمودارهای TGA و DTG برای هر دو مایع به دست آمده از هم تفاوت چوب صنوبر و پلی‌اپتین بدون کاتالیست و در حضور کاتالیست آورده شده است. مشخص شد که هر دو قطران از مواد متفاوتی تشکیل شده بود. با مشاهده نتیجه‌های به دست آمده مشخص شد که ساختار هر دو نمونه قطران از دماهای پایین شروع به تخریب شدن کرده بودند که این خود بیانگر وجود مواد سبک و رطوبت در قطران بود. در دمای  $85^{\circ}\text{C}$  حدود ۲۵٪ از قطران به دست آمده از تف کافت کاتالیستی و ۲۰٪ از قطران به دست آمده از تف کافت گرمایی باقی‌مانده بود که نشان می‌داد قطران به دست آمده از تف کافت کاتالیستی سنگین‌تر بود یا اینکه مقدار رطوبت داخل قطران به دست آمده از فرایند تف کافت گرمایی بیشتر بود چرا که تا  $100^{\circ}\text{C}$  مقدار بیشتری از قطران تف کافت گرمایی تبخیر و یا تخریب شد. از دمای حدود  $300^{\circ}\text{C}$  مقدار کاهش وزن برای هر دو نمونه مایع کاهش پیدا کرد که بیانگر شروع تخریب مواد سنگین‌تر در داخل هر دو نمونه قطران بود.

نمودارهای DTG مربوط به هر دو نمونه نیز وجود مواد متفاوت در قطران تف کافت گرمایی و کاتالیستی را مشخص کرد. در نمودار DTG مربوط به هر دو قطران تف کافت گرمایی و کاتالیستی در گستره  $100\text{--}300^{\circ}\text{C}$  پیک‌هایی مشاهده شد که شدت پیک موجود در دمای  $100^{\circ}\text{C}$  نسبت به بقیه پیک‌ها بیشتر بود و شدت آن برای قطران تف کافت گرمایی بیشتر از تف کافت کاتالیستی بود که بیانگر وجود رطوبت و مواد سبک بیشتری در قطران گرمایی بود. پیک موجود در  $300^{\circ}\text{C}$  نیز بیانگر مواد با اندازه متوسط بود که شدت آن برای هر دو قطران به طور تقریبی یکسان بود. پیک خیلی کوچک موجود در  $65^{\circ}\text{C}$  نشان‌دهنده

مقدار بالای آروماتیک‌ها در قطران کاتالیستی است.

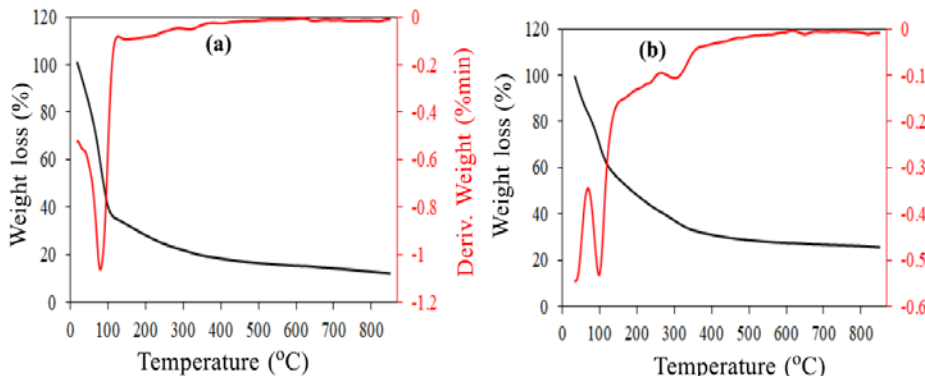


شکل ۴ طیف‌های FTIR نمونه‌های قطران تولیدشده در تف کافت گرمایی و کاتالیستی

زئولیت موجب افزایش سرعت واکنش تبدیل ترکیب‌های خطی به آروماتیک‌ها شد. نوارهای  $1726\text{ cm}^{-1}$  در طیف قطران گرمایی و  $1720\text{ cm}^{-1}$  در طیف قطران کاتالیستی (کمی کشیده‌تر) نشانگر کشش  $\text{C}=\text{O}$  آلدهیدهای سیرنشده،  $\text{C}=\text{C}$   $1640\text{ cm}^{-1}$  در طیف هر دو قطران نشانگر کشش آروماتیک و نوار  $1458\text{ cm}^{-1}$  (قطран کاتالیستی کشیده‌تر) کشش C-C آلکین است. پیک موجود در  $1250\text{ cm}^{-1}$  بیانگر کشش C-O استرها و اترها است [۲۶]. پیک موجود در  $1720\text{ cm}^{-1}$  کشش  $\text{C}=\text{O}$  دوگانه در ترکیب‌های آلدهید، کتون یا کربوکسیلیک اسید را نشان می‌دهد که شدت آن در طیف قطران کاتالیستی کمتر است که به دلیل سرعت بالای واکنش اکسیژن‌زدایی در حضور کاتالیست است. کربوکسیلیک اسیدها فراورده‌های نامطلوب هستند؛ زیرا موجب خوردگی و تشکیل لجن<sup>۱</sup> (طی بسپارش که کربوکسیلیک اسیدها باهم ترکیب می‌شوند و گونه‌های مولکولی بزرگتری را تشکیل می‌دهند) می‌شوند [۲۵].

از تف کافت گرمایی بود.

ترکیب‌های سنگین‌تر به دست آمده از لیگنین و مواد سنگین پلی‌اتیلن بود که شدت آن در تف کافت کاتالیستی کمی بیشتر

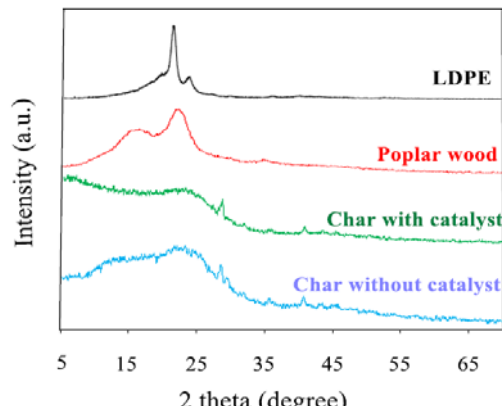


شکل ۵ نمودارهای TGA و DTG قطران در تف کافت گرمایی و کاتالیستی

پراش باریک تیز، تا حدی ساختار بلوری دارد. الگوی XRD پلی‌اتیلن سبک در  $2\theta = 21/34^{\circ}$  برابر با  $23/70^{\circ}$  و  $23/70^{\circ}$  ساختار بلوری مربوط به سلول واحد اردورومبیک<sup>۱</sup> را نشان می‌دهد [۲۸ و ۲۹]. در الگوی XRD چوب صنوبر پیک‌های موجود در زاویه  $16/27^{\circ}$  و  $22/23^{\circ}$  بیانگر صفحه‌های بلوری آراماتیکی چوب است که به آراماتیک‌های سبک و سنگین مربوط است [۳۰]. این پیک‌ها در زغال‌های تولیدشده گستردہ‌تر و کمتر برجسته شده‌اند [۳۱]. در الگوهای نمونه‌های زغال، پیک زاویه  $25^{\circ}$  وجود ساختارهای گرافیتی را در ماده موردمطالعه نشان می‌دهد. پیک واقع در  $23/70^{\circ}$  مربوط به ساختار گرافیت است، که نشانه‌ای برای جمع‌شدنش چند لایه شبکه‌گرافن<sup>۲</sup> در کربن‌های به دست آمده است. کاتالیست موجب کاهش شدت پیک بلوری و زغال بیشتر آریخت شده است که نشان از اکسیژن‌زادایی بالای کاتالیست زئولیت دارد که شبکه‌ای نامنظم ایجاد کرده است [۳۲]. کربن آمورف طی تف کافت لیگنین، سلولز و همی‌سلولز تولید می‌شود [۲۴]. با مقایسه واکنش‌گرها و زغال‌های تولیدشده،

الگوهای XRD چوب صنوبر، پلی‌اتیلن سبک و نمونه‌های زغال تولیدشده

در شکل ۶ الگوهای XRD نمونه‌های پلی‌اتیلن سبک، چوب صنوبر و زغال‌های به دست آمده از فرایند تف کافت گرمایی و کاتالیستی نشان داده شده است.



شکل ۶ الگوهای XRD چوب صنوبر، پلی‌اتیلن سبک و نمونه‌های زغال تف کافت گرمایی و کاتالیستی

دیده می‌شود که پلی‌اتیلن سبک به دلیل وجود پیک‌های

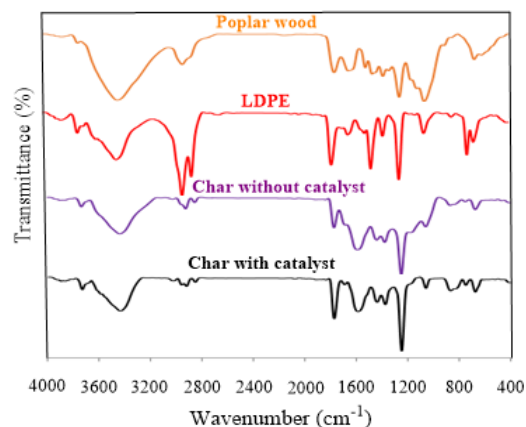
1. Orthorombic

2. Grapheme-like

۱۱۲۰ و ۱۱۵۸، مربوط به ارتعاش کششی نامتقارن C-O-C در سلولز، همی‌سلولز و لیگنین (وجود هر دو زیر واحد سیرینگیل<sup>۱</sup> و گواسیل<sup>۲</sup>) است. نوار موجود در  $1055\text{ cm}^{-1}$  ناشی از ارتعاش‌های خمشی الکل‌های درگیر در پیوند هیدروژنی ضعیف است. طیف زغال‌ها بیانگر ویژگی‌های مشابه آن‌ها است، ولی به دلیل متفاوت بودن شدت مشخصه نوارهای متفاوت، ویژگی متفاوتی را در زغال‌ها نشان می‌دهد. پس از تف کافت، پیک گستره ۳۲۰۰ تا  $3500\text{ cm}^{-1}$  به کشش H (گروه هیدروکسیل) اختصاص دارد. این گروه عاملی مربوط به الکل‌ها و بیانگر اکسیژن بالا است. از طرفی کاتالیست زئولیت تمایل به اکسیژن‌زدایی از زغال تولیدشده را دارد [۲۲]. ازین‌رو، زئولیت A4 نیز تمایل به اکسیژن‌زدایی از زغال را دارد. نوار موجود در گستره ۳۰۰۰ تا  $3070\text{ cm}^{-1}$  مربوط به ارتعاش کششی C-H آروماتیک‌ها است که شدت آن در هر دو زغال تغییر محسوسی نداشته است. نوار موجود در گستره  $2820\text{ cm}^{-1}$  تا  $2980\text{ cm}^{-1}$  مربوط به گروه‌های عاملی C-H آلیفاتیک‌ها است که شدت خیلی کمی برای هر دو نمونه زغال دارد. نوار موجود در  $1600\text{ cm}^{-1}$  مربوط به گروه C=C حلقه‌های آروماتیک است که شدت به تقریب یکسانی دارند [۳۰]. پلی‌اتلن سیک در زغال‌های تولیدی موجب ایجاد نوار  $1375\text{ cm}^{-1}$  شد که بیانگر وجود گروه آکلیل است [۲۲]. نوار مشاهده شده در  $1245\text{ cm}^{-1}$  بیانگر گروه عاملی هیدروکسیل فنلی است و شدت آن در زغال کاتالیستی بیشتر است که نشان می‌دهد کاتالیست موجب بسپارش بیشتر فتل‌ها شده است. نوارهای  $1438\text{ cm}^{-1}$  و  $1466\text{ cm}^{-1}$  در هر دو زغال بیانگر وجود کربنات است (شدت آن‌ها در زغال تولیدشده با کاتالیست بیشتر است). نوارهای موجود در  $1000\text{ cm}^{-1}$  تا  $1200\text{ cm}^{-1}$  بیانگر پلی‌ساکاریدهای موجود در چوب صنوبر بودند که در طی تف کافت تجزیه شده و شدت پایینی دارند، ولی شدت آن‌ها در زغال گرمایی اندکی بیشتر است؛ یعنی پلی‌ساکاریدها در این فرایند به خوبی تجزیه

مشاهده می‌شود که ساختار هردو زغال متفاوت از واکنش‌گرها است. یعنی هم‌تفکافت موجب برهمنش مولکول‌های واکنش‌گرها در حین تولید زغال شده است [۳۱].

طیف FTIR چوب صنوبر، پلی‌اتلن و نمونه‌های زغال تولیدشده در شکل ۷ طیف FTIR چوب صنوبر، پلی‌اتلن و نمونه زغال‌های تولیدشده در تف کافت گرمایی و کاتالیستی نشان داده شده است.



شکل ۷ طیف‌های FTIR چوب صنوبر، پلی‌اتلن سیک و نمونه‌های زغال تولیدشده

در طیف چوب صنوبر، پیک موجود در  $3425\text{ cm}^{-1}$ ، جذب (O-H) گروه هیدروکسیل در ساختار پلی‌ساکاریدها (سلولز، همی‌سلولز و لیگنین)، دو نوار موجود در  $2887\text{ cm}^{-1}$  و  $2923\text{ cm}^{-1}$ ، کشش C-H مربوط به گروه متیل و متیلن متعلق به ساختار سلولز، همی‌سلولز و لیگنین، پیک  $1794\text{ cm}^{-1}$ ، ارتعاش کششی C=O استر لیگنین و همی‌سلولز [۲۲]، پیک  $1457\text{ cm}^{-1}$ ،  $1405\text{ cm}^{-1}$  ارتعاش‌های چارچوب آروماتیک و  $1055\text{ cm}^{-1}$ ، بیانگر ارتعاش‌های C-O الکل نوع اول<sup>۱</sup> است [۲۹، ۲۳]. نوارهای موجود در  $1247\text{ cm}^{-1}$  و  $1373\text{ cm}^{-1}$ ، مربوط به ارتعاش C-O لیگنین و

1. Primary alcohol

2. Syringyl

3. Guaiacyl

گرمایی است. این نتیجه می‌تواند به دلیل تبدیل هیدروژن همراه اکسیژن به آب یا سایر ترکیب‌ها باشد.

جدول ۲ شیوه‌های ارتعاشی گروه‌های متفاوت در زغال‌ها [۳۳]

عدد موج (cm <sup>-1</sup> )	شیوه‌های ارتعاشی
۳۵۰۰-۳۲۰۰	ارتعاش کششی O-H
۳۰۷۰-۳۰۰۰	ارتعاش کششی C-H آромاتیک
۲۹۸۰-۲۸۲۰	ارتعاش کششی C-H آلفانیک
۱۷۷۰	ارتعاش کششی ناشی از استرها (استیل استر چوب)
۱۷۰۰	ارتعاش کششی کربونیلی گروه‌های کربوکسیلیک، آلدهیدها، کتون‌ها (نوار مربوط در دمای بالای تف کافت نابدید شده است)
۱۶۰۰-۱۵۳۰	ارتعاش کششی C=O، ارتعاش C=C آромاتیک
۱۴۳۸	ارتعاش چارچوب آروماتیک همراه با تغییر شکل سطحی یا کشش نامتقارن C-O ارتعاش‌های C-O کششی در کربنات‌ها
۱۳۴۵	ارتعاش کششی C-O (مانند استیل استر)، تغییر شکل سطحی OH
۱۲۰۰-۱۰۰۰	کشش ارتعاشی C-O کربوھیدرات‌ها
۸۶۶	آروماتیک تغییر صفحه C-H تغییر صفحه کربنات‌ها C-O

جدول ۳ تجزیه عنصری چوب صنوبر، پلی‌اتیلن سبک و نمونه زغال‌های تولیدشده

هیدروژن (درصد وزنی)	کربن (درصد وزنی)	نمونه
۴/۹۴	۴۶/۵۴	چوب صنوبر
۱۵/۷۱	۸۶/۲۸	پلی‌اتیلن سبک
۳/۱۸	۷۹/۳۴	زغال گرمایی
۳/۰۶	۸۵/۱۲	زغال کاتالیستی

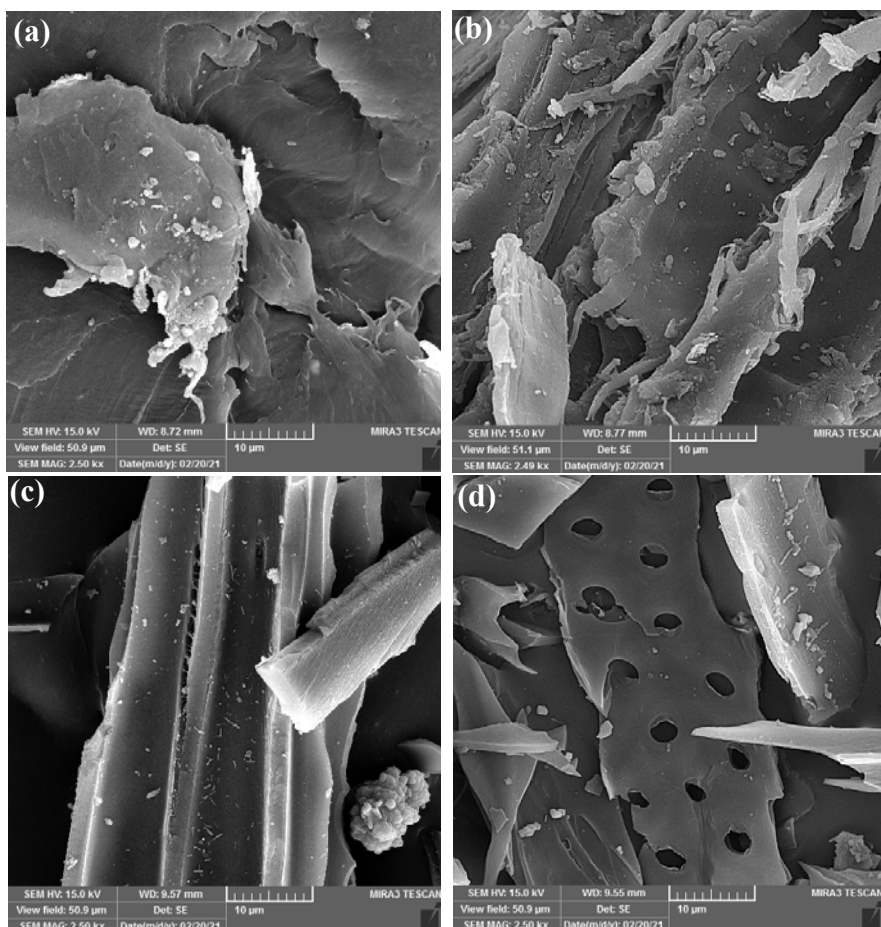
نشده‌اند ولی در تف کافت کاتالیستی بیشتر تجزیه شده‌اند. نوارهای با شدت کم در بازه ۷۵۰ تا ۸۶۶ cm<sup>-1</sup> در هر دو زغال بیانگر گروه C-H آромاتیک است.

با مقایسه طیف‌های FTIR در نمونه زغال‌های تولیدشده، می‌توان نتیجه گرفت که گروه‌های عاملی موجود در زغال گرمایی بیانگر مقدار اکسیژن بالا در زغال گرمایی است. افزایش اندکی در مقدار آرماتیک‌ها در زغال کاتالیستی به دلیل افزایش سرعت واکنش تشکیل آرماتیک‌ها است. با مقایسه طیف‌های زغال‌ها با واکنشگرهای مشاهده می‌شود ساختار واکنشگرهای در طی تف کافت تغییر یافته است. برای مثال، مقدار ترکیبات اکسیژن دار در واکنشگرهای بیشتر است که در طی تف کافت کاهش یافته است. همچنین، ترکیب‌های آرماتیک در ساختار واکنشگرهای بالا است. این نتیجه‌ها بیانگر حذف اکسیژن از واکنشگرهای سیرشدن آرماتیک‌ها است. در جدول ۲ گروه‌های متفاوت موجود در زغال‌ها آورده شده است.

تجزیه عنصری واکنشگرهای نمونه زغال‌های تولیدشده نتیجه‌های تجزیه عنصری برای واکنشگرهای زغال‌های تولیدشده (گرمایی و کاتالیستی)، در جدول ۳ آورده شده است. در واکنشگرهای فقط چوب صنوبر اکسیژن داشت (۴۲/۲۵٪) که آن هم به دلیل وجود لیگنین در ساختار آن بود. پلی‌اتیلن سبک، بیشترین مقدار کربن یعنی ۸۴/۲۸٪ را دارد. پس از انجام فرایند تف کافت، مقدار اکسیژن موجود در زغال به دلیل وجود واکنش‌های اکسیژن‌زادایی، کاهش و مقدار کربن آن افزایش یافته است. افزودن کاتالیست به محیط واکنش، موجب افزایش سرعت اکسیژن‌زادایی شده است بهطوری‌که مقدار اکسیژن برای زغال تولیدشده از فرایند تف کافت گرمایی و کاتالیستی به ترتیب ۱۴/۴۸ و ۱۱/۸۲٪ است. هر دو نمونه زغال، مقدار هیدروژن کمی دارند که مقدار آن در زغال تف کافت کاتالیستی کمتر از زغال

پلی اتیلن ساختاری لایه‌ای داشت و به طور عمدۀ دارای C و O بود. زبری سطح چوب صنوبر بیشتر بود و عناصری مانند C، N و مقداری Si و Al داشت (شکل ۹). درصد بالای اکسیژن در چوب نسبت به پلی اتیلن به دلیل وجود لیگنین در ساختار چوب بود.

تصویرهای SEM و طیف‌های EDS چوب صنوبر، پلی اتیلن و زغال‌های تولید شده برای بررسی ویژگی‌های و تغییرهای سطحی زغال‌های تولید شده از تف کافت گرمایی و کاتالیستی پلی اتیلن و چوب صنوبر و همچنین، مقدار عناصر موجود در آن‌ها به ترتیب از EDS و SEM استفاده شد. نتیجه‌ها نشان داد (شکل ۸) که



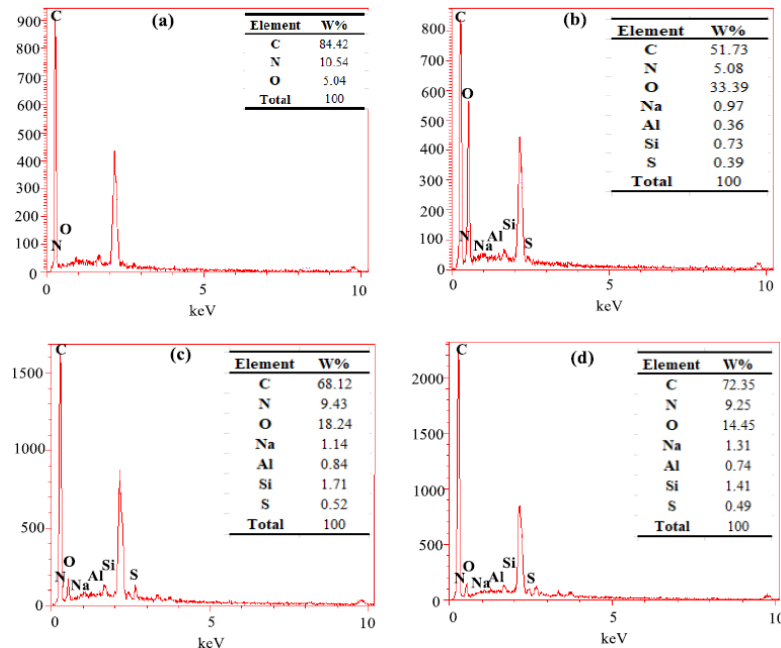
شکل ۸ تصویرهای SEM نمونه‌های LDPE (a)، چوب صنوبر (b)، زغال تولید شده از فرایند تف کافت گرمایی (c) و زغال تولید شده از فرایند تف کافت کاتالیستی (d)

چوب صنوبر را نشان داد در حالی که بر زغال‌های تف کافت کاتالیستی تخلخل‌هایی ایجاد شد که این خود می‌تواند به

کربن موجود در پلی اتیلن در مقایسه با چوب صنوبر بالاتر بود. زغال به دست آمده از تف کافت گرمایی ساختاری شبیه

کاتالیستی بیشتر از زغال گرمایی و مقدار اکسیژن آن به دلیل افزایش سرعت اکسیژن زدایی در تف کافت کاتالیستی، کمتر بود.

دلیل سرعت کراکینگ بالا رخ داده باشد و این زغال را برای به کارگیری به عنوان جاذب یا کاتالیست در کارهای آینده مناسب سازد. مقدار کربن در زغال های تولید شده افزایش و مقدار اکسیژن کاهش یافته بود. مقدار کربن موجود در زغال



شکل ۹ طیف های EDS نمونه های LDPE (a)، چوب صنوبر (b)، زغال تولید شده از فرایند تف کافت گرمایی (c) و زغال تولید شده از فرایند تف کافت کاتالیستی (d)

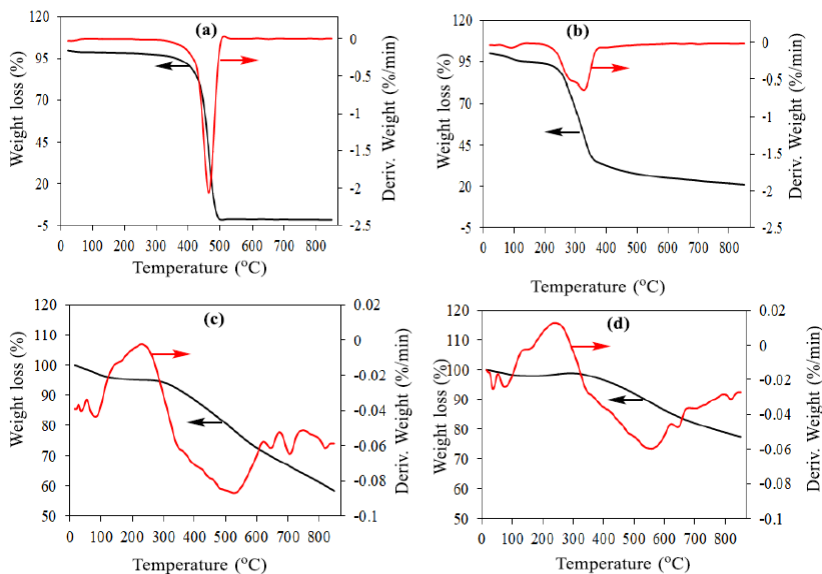
ثبت و ملایمی ادامه یافته است که این کاهش وزن به دلیل حذف رطوبت و تخریب مواد آلی سبک است. از  $270^{\circ}\text{C}$  به بعد شبیب کاهش وزن به طور چشمگیری به دلیل تخریب همی سلولز و سلولز افزایش پیدا کرده است. از  $370^{\circ}\text{C}$  سرعت کاهش وزن به دلیل تخریب لیگنین کاهش یافته است. در  $850^{\circ}\text{C}$  حدود ۲۰ درصد وزنی آن باقیمانده که نشان دهنده تشکیل بسپارهای سنگین در طی گرمادهی نمونه چوب صنوبر است. همچنین، در شکل ۱۰ نمودارهای کاهش وزن بر حسب دما برای زغال های تف کافت گرمایی و کاتالیستی نشان داده شده است. عمدۀ کاهش وزن در نمونه

نمودارهای DTG و TGA و چوب صنوبر، پلی اتیلن سبک و نمونه های زغال تولید شده

در شکل ۱۰ نمودارهای TGA و DTG برای چوب صنوبر و پلی اتیلن نشان داده شده است. همان گونه که مشاهده می شود شرایط کاهش وزن برای این دو نمونه به طور کامل متفاوت است. برای پلی اتیلن سبک، کاهش وزن به تقریب از دمای  $350^{\circ}\text{C}$  شروع شده و تا  $50^{\circ}\text{C}$  با شبیب تندری ادامه یافته است که نشانگر تخریب مواد آلی در پلی اتیلن سبک است. کاهش وزن در چوب صنوبر از دمای زیر  $270^{\circ}\text{C}$  شروع شده و تا حدود  $100^{\circ}\text{C}$  با شبیب به تقریب

پیک‌هایی در ۱۰۰ و ۳۲۰ °C ثبت شده که به دلیل حذف آب و ترکیب‌های سبک و تخریب همی‌سلوژ و سلوژ است. با مشاهده نمودار مربوط به زغال‌ها مشخص می‌شود که زغال به دست‌آمده از تف‌کافت گرمایی و کاتالیستی پیک‌هایی در دماهای ۴۰، ۱۳۷، ۲۱۶، ۲۱۵ و ۶۶۳ °C دارد که نشان می‌دهد ۶ گروه از مواد با سنگینی‌های متفاوت آزاد شده‌اند. شدت این پیک‌ها در زغال به دست‌آمده از تف‌کافت کاتالیستی بیشتر است. دلیل نتیجه یادشده می‌تواند این باشد که کاتالیست شاخه‌های سبک از ساختار لیگنینی زغال را شکسته و بسپارهای موجود دوباره با نیرهای فیزیکی و یا پیوندهای شیمیایی به هم چسبیده و متراکم شده‌اند.

زغال تف‌کافت گرمایی و کاتالیستی از ۳۰۰ °C شروع و در آخر ۴۲ % از زغال تف‌کافت گرمایی و ۲۳ % از زغال تف‌کافت کاتالیستی تخریب شده است. تخریب زغال گرمایی بیشتر از زغال کاتالیستی اتفاق افتاد. مقدار مواد تخریب‌شده در زغال‌های تولیدشده در مقایسه با واکنشگرها خیلی کم است که این به دلیل وجود مواد سنگین‌تر در زغال است، زیرا مواد سبک‌تر طی فرایند تف‌کافت از واکنشگرها حذف می‌شود و فقط مواد سنگین در زغال باقی می‌ماند. نمودار DTG واکنشگرها حاکی از وجود مواد متفاوت در ساختار چوب صنوبر و LDPE است. در نمودار مربوط به پلی‌اتیلن فقط یک پیک در ۴۶ °C مشاهده می‌شود که به دلیل ساختار یکنواخت پلی‌اتیلن است. برای چوب صنوبر

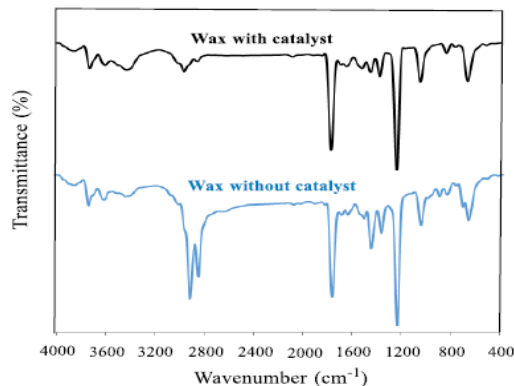


شکل ۱۰ نمودارهای TGA-DTG نمونه‌های LDPE (a)، چوب صنوبر (b)، زغال تولیدشده از فرایند تف‌کافت گرمایی (c) و زغال تولیدشده از فرایند تف‌کافت کاتالیستی (d)

موم، سطوح بلوری کربن را نشان می‌دهد [۳۴]. پیک موجود در ۲۳۵ °C، به دلیل وجود ساختار حلقه‌ای آروماتیک است. همچنین، یک پیک ضعیف در ۴۲۰ °C، وجود ساختارهای گرافیت مانند را نشان می‌دهد [۱۰]. می‌توان گفت که

الگوهای XRD موم‌های تولیدشده در شکل ۱۱ الگوهای XRD موم برای دو حالت تف‌کافت در حضور کاتالیست و بدون کاتالیست نشان داده شده است. پیک موجود در زاویه حدود ۲۱° در هر دو نمونه

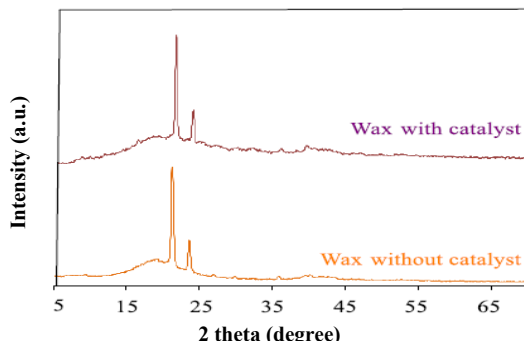
آلکان‌ها و یا آلکن‌های شاخه‌دار باشد. پیک موجود در  $\text{cm}^{-1}$  ۱۲۵۰ مربوط به هیدروکسیل فنلی است که در موم گرمایی شدت بیشتری دارد که نشان‌دهنده سرعت بیشتر اکسیژن‌زدایی در موم کاتالیستی است. نوارهای بین ۶۷۵ تا  $\text{cm}^{-1}$  ۹۰۰ نیز مربوط به آروماتیک‌ها است [۳۵]. با درنظر گرفتن این طیف‌ها می‌توان نتیجه گرفت که کاتالیست موجب اکسیژن‌زدایی اندکی در موم و افزایش اندک ترکیب‌های سیرشده، شده است. بنابراین، زئولیت تمایل به اکسیژن‌زدایی و سیرکردن ترکیب‌های سیرنشده در موم را دارد.



شکل ۱۲ طیف‌های FTIR نمونه‌های متفاوت موم

تجزیه عنصری موم گرمایی و کاتالیستی نتیجه‌های به دست آمده از تجزیه عنصری موم‌های تولیدشده در فرایند تف کافت گرمایی و کاتالیستی در جدول ۴ قابل مشاهده است. این نتیجه‌ها نشان می‌دهد که مقدار اکسیژن موجود در موم کاتالیستی به طور چشمگیری از مقدار اکسیژن موم گرمایی کمتر است (۱۳٪/۸۶٪ در موم گرمایی و ۳٪/۹٪ در مصد در موم کاتالیستی). همچنین، مقدار کربن موم کاتالیستی بیشتر از موم گرمایی بود. این نتیجه‌ها نشان می‌دهد که سرعت اکسیژن‌زدایی در حضور کاتالیست زئولیت افزایش یافته است.

کاتالیست تأثیری بر ساختار موم نداشته است، چون موم در مدت گرم شدن واکنش‌گرها تا دمای واکنش تشکیل و به طور سریع و بدون تماس با کاتالیست از واکنشگاه خارج شده بود.



شکل ۱۱ الگوهای XRD موم‌های به دست آمده از تف کافت گرمایی و کاتالیستی

طیف Mوم‌های تولیدشده FTIR طیف‌های دو نوع موم تف کافت گرمایی و کاتالیستی در شکل ۱۲ نشان داده شده‌اند. در این دو طیف، نوارهای متفاوت به طور تقریبی مشابه هستند که نشان می‌دهد کاتالیست زئولیت تأثیری بر موم نداشته است. گروه‌های آروماتیک با نوارهای بین  $۳۰۰\text{--}۳۱۰\text{ cm}^{-1}$  مشاهده شده‌اند. پیک موجود در  $۲۹۲۰\text{ cm}^{-1}$  برای هر دو موم مربوط به ارتعاش کششی C-H است که برای موم بدون کاتالیست شدت بیشتری دارد. این پیک وجود آلکان‌ها را در موم‌های به دست آمده از تف کافت پلی‌اتیلن نشان می‌دهد. نوارهای مربوط به ارتعاش‌های کششی C=C در  $۱۶۷۰\text{--}۱۷۷۰\text{ cm}^{-1}$  مربوط به حلقه‌های آروماتیک هستند. همچنین، وجود آلکن‌هایی را نشان می‌دهد که فراورده‌ای از تخریب گرمایی پلی‌اتیلن هستند [۲۷]. نوار موجود در  $۱۵۰۰\text{ cm}^{-1}$  مربوط به گروه متیل است که شدت آن در موم گرمایی اندکی بیشتر است [۲۷]. این گروه می‌تواند ناشی از

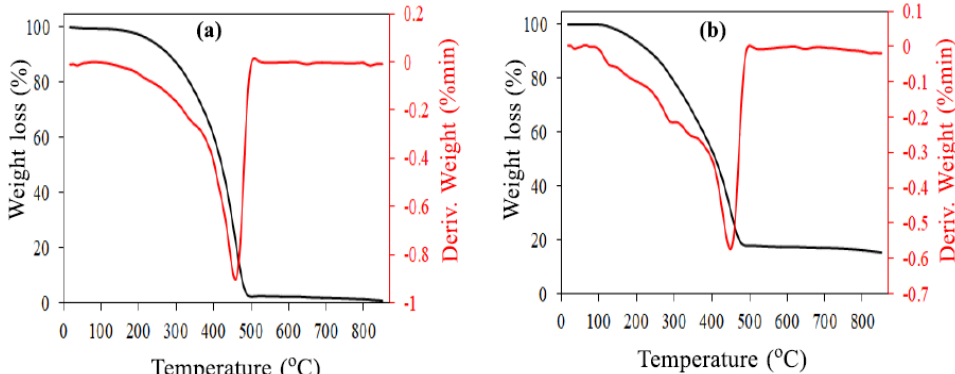
موم به دست آمده از تف کافت گرمایی بیشتر از کاهش وزن موم تف کافت کاتالیستی است و همه آن تخریب شده است، در حالی که حدود ۱۵٪ از موم کاتالیستی مانده است. این نیز می‌تواند به دلیل بسپارش و تجمیع دوباره شاخه‌های سبک به دست آمده از تخریب مواد آلی موجود در موم کاتالیستی باشد. با مقایسه نمودار DTG مربوط به هر دو موم به دست آمده از تف کافت گرمایی و کاتالیستی که در شکل ۱۳ نشان داده شده است مشخص می‌شود که هر دو موم پیکی در  $450^{\circ}\text{C}$  دارند؛ پس ساختار یکسانی نیز دارند.

جدول ۴ تجزیه عنصری مومهای تولیدشده

نمونه	کربن (درصد وزنی)	هیدروژن (درصد وزنی)
موم گرمایی	۷۳.۰۶	۱۲.۰۸
موم کاتالیستی	۸۱.۸۷	۱۴.۱۶

## نمودارهای DTG و TGA مومهای تولیدشده

نمودار کاهش وزن بر حسب دما برای نمونه‌های موم تف کافت گرمایی و کاتالیستی در شکل ۱۳ نشان داده شده است. کاهش وزن برای موم به دست آمده از تف کافت گرمایی از  $150^{\circ}\text{C}$  و برای موم به دست آمده از تف کافت کاتالیستی از  $120^{\circ}\text{C}$  شروع شده است. مقدار کاهش وزن در  $850^{\circ}\text{C}$  برابر



شکل ۱۳ نمودارهای TGA و DTG برای موم به دست آمده از (a) تف کافت گرمایی (b) تف کافت کاتالیستی

برپایه الگوی استاندارد زئولیت A4 (JCPDS<sup>1</sup> No.: 01-072-2432)، پیک‌های زئولیت در  $2\theta = 7.31, 10.3, 12.57, 14.27, 16.27, 21.81, 24.14, 27.27, 30.09$  و  $34.34^{\circ}$  برای هر دو نمونه زئولیت، پیش و پس از واکنش، باشد. ترتیب پیک‌های پراش زئولیت A4 خالص در گستره  $2\theta$  برابر با  $5$  تا  $40^{\circ}$  مشاهده می‌شود. پیک‌های موجود در گستره  $2\theta$  برابر با  $20$  تا  $25^{\circ}$  مشخصه سیلیکاتی آریخت است [۳۷].

## الگوهای XRD کاتالیست زئولیت A4

در شکل ۱۴ الگوهای XRD کاتالیست پیش و پس از واکنش نشان داده شده است. برپایه نتیجه‌های به دست آمده، شاخص‌ترین پیک‌های پراش زئولیت A4 خالص در گستره  $2\theta$  برابر با  $5$  تا  $40^{\circ}$  مشاهده می‌شود. پیک‌های موجود در گستره  $2\theta$  برابر با  $20$  تا  $25^{\circ}$  مشخصه سیلیکاتی آریخت است [۳۶].

1. Joint Committee Powder Diffraction Standards

A4 است. نوارهای ۵۵۷ و ۶۷۱  $\text{cm}^{-1}$  مربوط به حالت‌های لرزش چارچوب زئولیت A4 بود [۳۹]. این پیک‌ها در کاتالیست پیش و پس از واکنش به طور تقریبی شدت مشابهی را نشان می‌دهد.

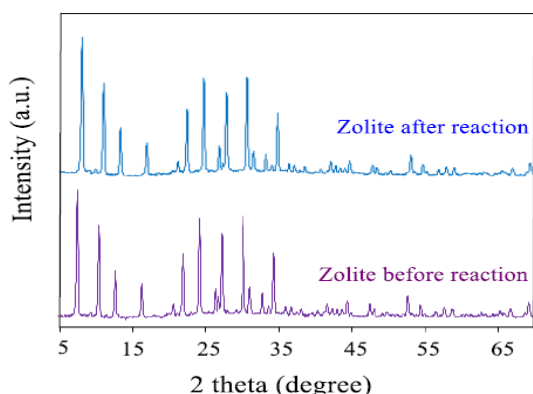
#### تجزیه عنصری کاتالیست زئولیت A4

نتیجه‌های تجزیه عنصری کاتالیست زئولیت، پیش و پس از واکنش در جدول ۵ آورده شده است. با توجه به این نتیجه‌ها، مشاهده می‌شود که مقدار هیدروژن در کاتالیست پیش و پس از واکنش به طور تقریبی یکسان بود. مقدار اکسیژن موجود در دو نمونه کاتالیست به تقریب باهم برابر و به طور قابل توجهی زیاد است فقط مقدار جزئی اکسیژن زدایی از سطح کاتالیست در طی فرایند تف کافت رخ داده است (۹۷/۴۴ درصد در کاتالیست پیش از واکنش ۹۶/۷۵ درصد پس از واکنش) و در نتیجه کربن موجود در کاتالیست پس از واکنش به مقدار ۰/۸۶ درصد افزایش یافته است. کاهش اکسیژن و افزایش خیلی کم در مقدار کربن، تشکیل مقدار خیلی جزئی کک بر کاتالیست را نشان می‌دهد. به دلیل اینکه مقدار این کربن خیلی کم است (۰/۸۶ درصد)، می‌توان نتیجه گرفت که مقدار خیلی کمی کک بر کاتالیست ایجاد شده بود.

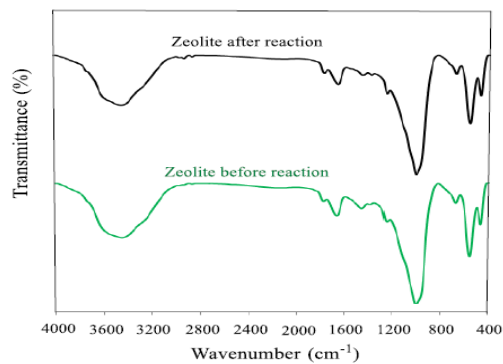
جدول ۵ تجزیه عنصری کاتالیست پیش و پس از واکنش

نمونه	کربن (درصد وزنی)	هیدروژن (درصد وزنی)	کاتالیست پیش از واکنش	کاتالیست پس از واکنش
۱/۸۳	۰/۷۳			
۱/۶	۱/۵۹			

تصویرهای SEM و طیف‌های EDS کاتالیست زئولیت A4 تصویرهای SEM کاتالیست زئولیت A4 در شکل ۱۶ نشان داده شده است. با توجه به این تصویرها می‌توان نتیجه گرفت که مقداری کک بر کاتالیست تشکیل شده است. با توجه به طیف‌های EDS این کاتالیست (شکل ۱۷)، مقدار اکسیژن کاتالیست پس از واکنش، اندکی کاهش یافته است که می‌تواند به دلیل اکسیژن زدایی جزئی، از سطح



شکل ۱۴ الگوهای XRD کاتالیست پیش و پس از فرایند تف کافت

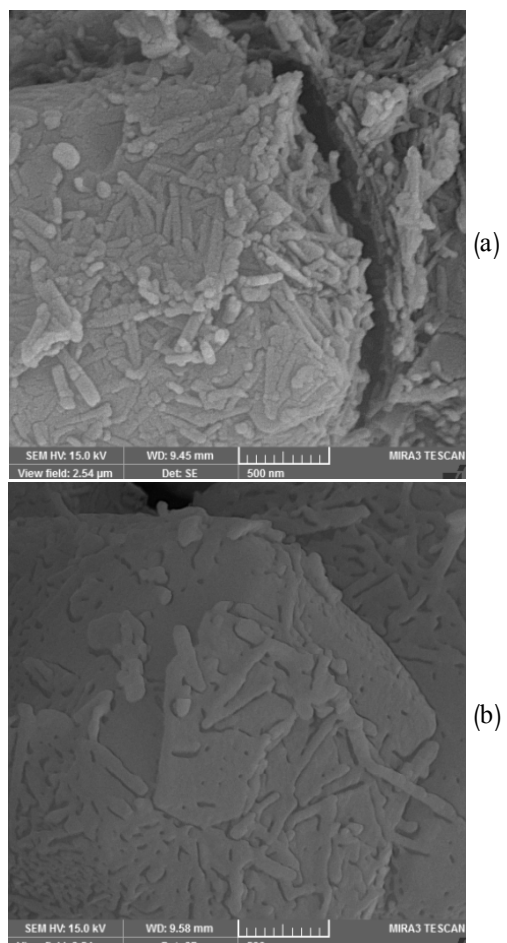


شکل ۱۵ طیف‌های FTIR کاتالیست پیش و پس از واکنش

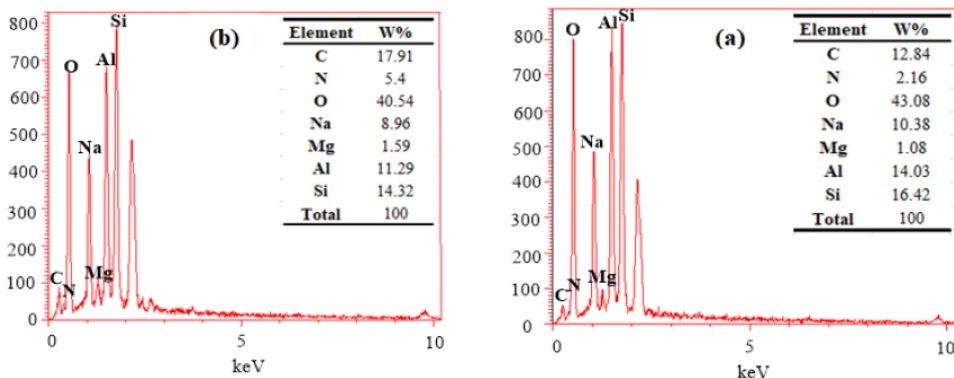
طیف‌های FTIR کاتالیست در شکل ۱۵، طیف‌های FTIR برای کاتالیست پیش و پس از واکنش نشان داده شده است. طیف به دست آمده از نمونه‌های کاتالیست ویژگی‌های یکسانی را نشان می‌دهد. پیک موجود در  $3440 \text{ cm}^{-1}$  ارتعاش کششی پیوند OH- هیدروژن را نشان می‌دهد. پیک  $1654 \text{ cm}^{-1}$  ارتعاش خمی پیوند OH- هیدروژن در زئولیت A4 را نشان می‌دهد که نشانگر پیوند زئولیت A4 به آب است [۳۸]. نوارهای ارتعاش در  $1000 \text{ cm}^{-1}$  و  $470 \text{ cm}^{-1}$  به ترتیب بیانگر کشش واحدهای Si-O-Al و ارتعاش واحدهای Si-O-Si یا Al-O-Si را نشان می‌دهند.

نمودارهای TGA و DTG کاتالیست پس از فرایند تفکافت در شکل ۱۸ نمودار TGA مربوط به کاتالیست زئولیت پیش و پس از واکنش نشان داده است. با توجه به این نمودارها کاهش وزن برای هر دو نمونه در  $100^{\circ}\text{C}$  شروع شده و پس از  $200^{\circ}\text{C}$  مقدار کاهش، کم شده است که این می‌تواند به دلیل تبخیر رطوبت موجود در کاتالیست و همچنین به دلیل آلوهشدن احتمالی کاتالیست به مواد آلی در حین حمل و نقل و یا انجام واکنش بوده باشد. همچنین، کاهش اندکی در دمای  $610^{\circ}\text{C}$  مشاهده می‌شود که این کاهش در نمودار مربوط به کاتالیست پس از واکنش، چشمگیرتر است. این کاهش وزن به احتمال بدلیل نشست مقدار اندکی که بر کاتالیست است. مقدار کاهش وزن نهایی برای کاتالیست پیش و پس از واکنش به ترتیب حدود ۲۲ و ۲۶ درصد است که نشان از وجود مقدار کم که بر کاتالیست است. همچنین، در نمودارهای DTG موجود در شکل ۱۸ نیز دو پیک در  $160^{\circ}\text{C}$  و  $660^{\circ}\text{C}$  مشاهده می‌شود که بیانگر آزادشدن دو گروه از مواد با سنگینی متفاوت است. پیک موجود در دمای  $660^{\circ}\text{C}$  که در کاتالیست پس از واکشن شدت بیشتری نسبت به کاتالیست پیش از واکشن دارد، می‌تواند نشانگر وجود مواد سنگین و یا که بر کاتالیست باشد. در حالی که پیک اول مربوط به رطوبت و آلدگی احتمالی کاتالیست به مواد آلی سبک است.

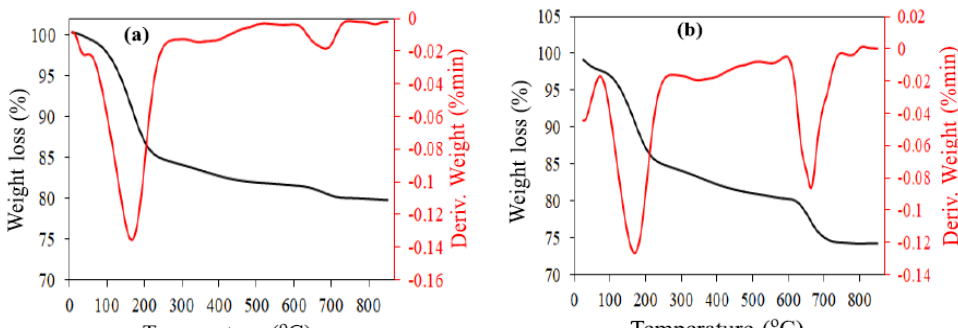
کاتالیست و تبخیر رطوبت موجود در کاتالیست باشد. مقدار کربن کاتالیست نیز پس از واکشن حدود ۵٪ افزایش یافته است که بیانگر تشکیل اندکی که روی کاتالیست است. هر یک از عناصر سیلیکون، آلومینیم و سدیم موجود در کاتالیست پس از واکشن حدود ۲٪ کاهش یافته است که می‌تواند به دلیل کراکینگ جزئی کاتالیست در فرایند تفکافت باشد.



شکل ۱۶ تصویرهای SEM کاتالیست پیش (a) و پس (b) از واکشن



شکل ۱۷ طیفهای EDS کاتالیست پیش (a) و پس (b) از واکنش



شکل ۱۸ نمودارهای TGA-DTG برای کاتالیست پیش (a) و پس (b) از واکنش

و مقداری مواد اسیدی، مواد گوگردار و نیتروژن دار بودند. ترکیب‌های خطی سبک مانند آلکان‌ها و آروماتیک‌های سبک مانند بنزن و زایلن در مایع وجود داشت. مواد آلیفاتیک شامل آلکان‌ها، آلکن‌ها، اسیدها و ... بودند. آلکان‌هایی مانند پتان، هگزان و اکтан بیشترین مقدار را داشتند. مقدار آلکان مانند هگزان و دکان در تف کافت گرمایی زیاد بود. مقدار آروماتیک‌ها با افزودن کاتالیست بیشتر و مقدار ترکیب‌های آروماتیک‌ها با افزودن کاتالیست کمتر شد. با افزودن کاتالیست به فرایند اکسیژن دار کمتر شد. با افزودن کاتالیست به فرایند هم تف کافت، تعییرهایی در مقدارهای ترکیب‌ها به وجود آمد و مقدار آلکان‌ها کاهش یافت. فوران که ماده بالرزشی است و می‌تواند به مواد شیمیابی مفیدی تبدیل شود، فقط در مایع به دست آمده از تف کافت کاتالیست مشاهده شد. اسیدهای

## نتیجه‌گیری

در این پژوهش، تأثیر کاتالیست زئولیت A4 بر فرایند هم تف کافت چوب صنوبر و پلی‌اتیلن سبک بررسی شد. افزودن کاتالیست زئولیت A4 موجب کاهش مقدار موم از ۱۳/۳۸ درصد به ۳/۱۹ درصد شد. همچنین، مقدار زغال نیز در تف کافت کاتالیستی از ۱۳/۸۸ درصد به ۱۰/۴ درصد کاهش یافت. سوانگاری گازی نشان داد که فراورده گاز شامل CO و CO<sub>2</sub> بود که از ترکیب‌های اکسیژن دار موجود در چوب صنوبر و پلی‌اتیلن سبک تولید شده‌اند. مقدار این گازها در تف کافت کاتالیستی بیشتر بود.

مواد موجود در مایع‌های تولیدشده شامل مواد آلیفاتیک (هیدروکربن‌های راست زنجیر و حلقوی)، آروماتیک‌ها، الکل‌ها

صنوبر، پلی‌اتیلن سبک و زغال‌های تولیدشده در فرایند تف کافت گرمایی و کاتالیستی، ویژگی‌های هر دو نمونه زغال تولیدشده مشابه بود. نمودارهای TGA نشان داد که روند کاهش وزن برای زغال به دست آمده از فرایند کاتالیستی به تقریب مشابه با کاهش وزن زغال فرایند تف کافت غیرکاتالیستی بود، ولی مقدار مواد سبک بیشتری در زغال تف کافت گرمایی وجود داشت.

نتایج نشان داد که زئولیت A4 موجب اکسیژن‌زدایی جزیی از سطح موم می‌شود و مقدار موم تولیدشده را کاهش می‌دهد. با مقایسه طیف‌های FTIR نیز تغییرهای جزئی در گروه‌های عاملی موجود بر سطح کاتالیست مشاهده شد. افزون برآن، با توجه به طیف‌های EDS و نتایج تجزیه عنصری، مقدار عنصر کربن در کاتالیست پس از واکنش، اندکی افزایش یافته بود. تصویرهای SEM تشکیل جزئی کک بر کاتالیست را نشان دهد. این تفاوت اندک را نمودارهای TGA و DTG نیز تایید کردند.

تولیدشده در تف کافت کاتالیستی کاهش چشمگیری یافته بود. با انجام واکنش‌های کتونی‌شدن حول کاتالیست، گروه‌های کربوکسیل حذف و اسیدها به کتون تبدیل شدند که این خود موجب افزایش ارزش گرمایی و پایداری فراورده‌های مایع می‌شود. طیف‌های FTIR، گروه‌های عاملی شیمیایی متفاوتی را در قطران‌های تف کافت گرمایی و کاتالیستی نشان داد. شدت نوارهای مربوط به حلقه‌های آروماتیک‌ها در قطران کاتالیستی بیشتر بود.

مقایسه الگوهای XRD زغال و واکنش‌گرها (چوب صنوبر و پلی‌اتیلن سبک) نشان داد که ساختار هر دو فراورده زغال، مشابه با ساختار چوب صنوبر بود؛ فقط شدت پیک صفحات بلوری کم شده بود که نشان از آریخت‌بودن بیشتر زغال کاتالیستی بود. تصویرهای SEM نیز نشان داد که ساختار زغال‌های تولیدشده از فرایند تف کافت گرمایی و کاتالیستی متفاوت بودند و تخلخل بیشتری بر زغال تف کافت کاتالیستی مشخص شد. با توجه به طیف‌های FTIR چوب

## مراجع

- [1] Achilias, D.S.; Roupakias, C.; Megalokonomos, P.; Lappas, A.A.; Antonakou, E.V.; J. Hazard. Mater. 149, 536–542, 2007.
- [2] Abnisa, F.; Daud, W.; Energy Convers. Manag. 87, 71–85, 2014.
- [3] Park, Y.K.; Jung, J.; Ryu, S.; Lee, H.W.; Siddiqui, M.Z.; Jae, J.; Watanabe, A.; Kim, Y.M.; Appl. Energy, 250, 1706–1718, 2019.
- [4] Önal, E.; Uzun, B.B.; Pütün, A.E.; Energy Convers. Manag. 78, 704–710, 2014.
- [5] Oyedun, A.O.; Gebreegziabher, T.; Denny, K.S. Ng; Hui, C.W.; Energy 1, 1–9, 2014.
- [6] Ryu, H.W.; Tsang, Y.F.; Lee, H.W.; Jae, J.; Jung, S.C.; Lam, S.S.; Park, E.D.; Park, Y.K.; Chem. Eng. Sci. 373, 375–381, 2019.
- [7] Ephraim, A.; Minh, D.P.; Lebonnois, D.; Peregrina, C.; Sharrock, P.; Nzihou, A.; Fuel 231, 110–117, 2018.
- [8] Lin, X.; Kong, L.; Zhang, D.; Cai, H.; Lei, H.; Renew. Energy 164, 87–95, 2021.
- [9] Paradela, F.; Pinto, F.; Gulyurtlu, I.; Cabrita, I.; Lapa, N.; Clean Technol. Environ. Policy 11, 115–122, 2009.
- [10] Li, C.; Zhang, C.; Gholizadeh, M.; Hu, X.; J. Hazard. Mater. 339, 1–15, 2020.
- [11] Hassan, H.; Lim, J.K.; Hameed, B.H.; Bioresour. Technol. 221, 645–655, 2016.
- [12] Xue, Y.; Kelkar, A.; Bai, X.; Fuel 166, 227–236, 2016.
- [13] López, A.; de Marcoa, I.; Caballero, B.M.; Laresgoiti, M.F.; Adrados, A.; Aranzabal, A.; Appl. Catal. B: Environ. 104, 211–219, 2011.
- [14] Imran, A.; Bramer, E.A.; Seshan, K.; Brem, G.; Biofuel Res. J. 20, 872–885, 2018.
- [15] Fan, L.; Chen, P.; Zhang, Y.; Liu, S.; Liu, Y.; Wang, Y.; Dai, L.; Ruan, R.; Bioresour. Technol. 225, 199–205, 2017.

- [16] Prabir, B.; "Biomass Gasification and Pyrolysis", Elsevier, the Boulevard, Langford Lane, Kidlington, Oxford, 2010.
- [17] Gašparovič, L.; Koreňová, Z.; Jelemenský, L.; Chemical Papers 64, 174-181, 2010.
- [18] Alcock, C.B.; "Thermochemical Processes.", 1th Edition, University of Norte Dame, USA, 2000.
- [19] Scott, D.S.; Piskorz, J.; Radlein, D.; Ind. Eng. Chem. Process Des. Dev. 24, 581-588, 1985.
- [20] Fagbemi, L.; Khezami, L.; Capart, R.; Appl. Energy 69, 293-306, 2001.
- [21] Onay, O.; Kockar, OM.; Renew. Energy 28, 2417-2433, 2003.
- [22] Zheng, Y.; Tao, L.; Yang, X.; Huang, Y.; Liu, C.; Zheng, Z.; J. Anal. Appl. Pyrolysis, 133, 185-197, 2018.
- [23] Chi, Y.; Xue, J.; Zhuo, J.; Zhang, D.; Liu, M.; Yao, K.; Sci. Total Environ. 633, 1105-1113, 2018.
- [24] Janković, B.; Manić, N.; Dodevski, V.; Popović, J.; Rusmirović, J.D.; Tošić, M.; Fuel 238, 111-128, 2019.
- [25] Lam, S.; Russell, A.D.; Lee, C.; Chase, H.A.; Fuel 92, 327-339, 2012.
- [26] Schnitzer, M.I.; Montreal, C.M.; Facey, G.; Fransham, P.B.; J. Environ. Sci. Health B 42, 71-77, 2007.
- [27] Sophonrat, N.; Yang, W.; Energy Procedia 142, 315-320, 2017.
- [28] Hamouya, M.; Mahir, A.; EL Idrissi, M.C.; Int. J. Eng. Res. Technol. 3, 210-215, 2014.
- [29] Bahoria, B.V.; Parbat, D.K.; Nagarnaik, P.B.; Mater. Today: Proc. 5, 1432-1438, 2018.
- [30] Dong, Y.; Yan, Y.; Wang, K.; Li, J.; Zhang, S.; Xia, C.; Shi, S.Q.; Cai, L.; Eur. J. Wood Wood Prod. 74, 177-184, 2016.
- [31] Kloss, S.; Zehetner, F.; Dellantonio, A.; Hamid, R.; Ottner, F.; Liedtke, V.; Schwanninger, M.; Gerzabek, M.H.; Soja, G.; J. Environ. Qual. 41, 990-1000, 2012.
- [32] Chen, H.; Bahmani, M.; Humar, M.; Cheng, D.; Forests 11, 1-14, 2020.
- [33] Amini, E.; Safdari, M.S.; DeYoung, J.T.; Weise, D.R.; Fletcher, T.H.; Fuel 235, 1475-1491, 2019.
- [34] Sogancioglu, M.; Yel, E.; Ahmetli, G.; J. Clean. Prod. 165, 369-381, 2017.
- [35] Williams, P.T.; Williams, E.A.; J. Anal. Appl. Pyrolysis 51, 107-126, 1991.
- [36] Fraijo, P.H.; Smolentseva, E.; Simakov, A.; José-Yacaman, M.; Acosta, B.; Micropor. Mesopor. Mat. 312, 1-50, 2020.
- [37] Klaimy, S.; Ciotonea, C.; Dhainaut, J.; Royer, S.; Casetta, M.; Duquesne, S.; Tricot, G.; Lamonier, J.F.; ChemCatChem 12, 1109-1116, 2020.
- [38] Wang, P.; Sun, Q.; Zhang, Y.; Cao, J.; Materials 12, 1-12, 2019.
- [39] Yang, L.; Qian, X.; Yuan, P.; Bai, H.; Miki, T.; Men, F.; Li, H.; Nagasaka, T.; J. Clean. Prod. 212, 250-260, 2019.

**Investigating the effect of zeolite catalyst in the co-pyrolysis of low density polyethylene and poplar wood****S. Behnam<sup>1</sup>, M. Gholizadeh<sup>2,\*</sup>**

1. M.Sc. Student of Faculty of Chemical and Petroleum Engineering, University of Tabriz, Tabriz, Iran.  
2. Assistant Prof. of Faculty of Chemical and Petroleum Engineering, University of Tabriz, Tabriz, Iran.

**Abstract:** In this study, the effect of zeolite on the process of mixing poplar wood and low density polyethylene (LDPE) was investigated. For this purpose, in a laboratory-sized reactor, 15 g of this mixture was loaded and pyrolysis of the mixture was performed at 500 °C, atmospheric pressure, and in the atmosphere of nitrogen gas. Addition of A4 zeolite catalyst to the pyrolysis of poplar wood and LDPE increased the amount of tar. The produced tar had two groups of aliphatic and aromatic compounds. The catalyst also increased the amount of aromatic substances in the tar and improved the quality of the tar by deoxygenation. According to the results of SEM analysis, it was found that the structure of the solutions produced by thermal and catalytic pyrolysis was similar to the structure of poplar wood. However, the catalytic products had more porosity. The results of FTIR analysis showed that the addition of catalyst caused a slight deoxygenation of wax surface obtained from catalytic pyrolysis and also reduced the amount of wax produced. These results showed that A4 zeolite catalyst tended to deoxygenate the surface of the products. According to the XRD patterns and elemental analysis of the catalyst, it was determined that a very small amount of coke was formed on the catalyst after the reaction.

**Keywords:** Pyrolysis, Poplar wood, Zeolite, Low density polyethylene

\* Corresponding author Email:  
[m.gholizadeh@tabrizu.ac.ir](mailto:m.gholizadeh@tabrizu.ac.ir)